

Analyses de pointeurs

TAS : Typage et analyse statique
M2, Master STL INSTA, UPMC

Antoine Miné

Année 2016–2017

Cours 13
16 mars 2017

Nous avons considéré jusqu'à présent uniquement des **analyses numériques**.

Les langages réalistes ont :

- des pointeurs (vision bas niveau : C, C++)
- des références (vision haut niveau : Java, OCaml)
- de l'allocation dynamique de mémoire
- éventuellement, de l'arithmétique de pointeur (C, C++)

Une analyse doit tenir compte des pointeurs car :

- 1 les pointeurs causent des erreurs spécifiques
accès à un pointeur invalide, dépassement de capacité, double libération, etc.
⇒ nous voulons vérifier statiquement ces erreurs
- 2 la présence de pointeurs rend l'analyse des propriétés numériques plus difficile.
simplement ignorer les pointeurs donne des résultats non sûrs !

Application 1 : analyse de constantes

Exemple

```
int x = 2;  
int *p = &x;  
(*p)++;  
int y = x + 1;
```

Une analyse de constantes qui ignore les pointeurs trouverait :
x constant égal à 2.

Un compilateur optimisant utilisant cette analyse de constantes
replacerait `y = x + 1` par `y = 3`
ce qui est **faux** !

Problème : un accès indirect par pointeur modifie la valeur de x.
C'est le problème de l'**aliasing**.

Exemple

```
char* p = malloc(100);  
char* q = p;  
for (int i=0; i<10; i++, q++) *q = 12;  
free(p);  
(*q)++;
```

- après `malloc`, `p` pointe vers un bloc valide ;
- après `q = p`, `q` pointe vers un bloc valide ;
- dans la boucle, `q` reste valide (i.e., dans le bloc) ;
- `free(p)` libère le bloc
⇒ `p` et `q` deviennent invalides.

Une analyse statique de pointeurs permet de détecter ces erreurs.

Application 3 : analyse de classe en Java

Exemple

```
class Rectangle {
    public void draw() { ...}
}

class Square extends Rectangle {
    @Override public void draw() { ...}
}

Rectangle x;
x = new Square();
...
x.draw();
```

L'analyse statique permet une **optimisation** à la compilation :

- x est une référence vers un objet de classe Square
- \implies x.draw peut être compilé en un appel direct à la méthode de Square (au lieu d'un appel indirect avec test dynamique de la classe de l'objet)

Deux problèmes liés :

- **analyse de pointeurs** :

étant donné un pointeur p :

- vers quelles variables p peut-il pointer ?
- vers quels blocs alloués dynamiquement p peut-il pointer ?

- **analyse d'alias** :

étant donnés deux pointeurs p et q :

- p et q peuvent-ils pointer vers le même bloc mémoire ?

L'analyse d'alias peut se réduire à l'analyse de pointeurs.

Note : il existe également des analyses d'alias dédiées, mais nous n'en parlerons pas.

But : montrer des exemples

- 1 d'analyses non-numériques : les pointeurs ;
- 2 d'analyses insensibles au flot de contrôle, très efficaces
⇒ utilisables dans un compilateur
(mais moins précises que les analyses sensibles au flot de contrôle vues jusqu'à présent)

Plan :

- langage de pointeurs simple ;
- sémantique concrète, non calculable ;
- abstraction par site d'allocation ;
- analyse classique, sensible au flot de contrôle ;
- analyses insensibles au flot de contrôle :
 - analyse d'Andersen ;
 - analyse de Steensgaard.

Langage

Syntaxe

Instructions

<i>stat</i>	::=	$X \leftarrow \mathbf{alloc}()$	(allocation)
		$X \leftarrow \&Y$	(prise de référence)
		$X \leftarrow *Y$	(lecture par référence)
		$*X \leftarrow Y$	(écriture par référence)
		$X \leftarrow \mathit{expr}$	(affectation numérique)
		...	

- nous ajoutons aux instructions numériques des instructions de pointeur ;
- une variable peut contenir un pointeur ou un entier ;
- les manipulations de pointeurs sont réduites à des instructions atomiques ;
nous supposons que les instructions complexes sont décomposées en instructions atomiques ;
ainsi, $*p = *q + 1$ s'écrit : $\mathit{tmp} \leftarrow *q; \mathit{tmp} \leftarrow \mathit{tmp} + 1; *p \leftarrow \mathit{tmp}$
- **alloc()** alloue une case mémoire pouvant contenir un pointeur ou un entier ;
- pas d'arithmétique de pointeur, pas de libération de mémoire.

Modélisation concrète de la mémoire

L'ajout de pointeurs nécessite d'enrichir la notion de variable et de valeur.

Adresses \mathbb{A} : $\mathbb{A} \stackrel{\text{def}}{=} \mathbb{V} \cup \mathbb{H}$

Dénote une portion de mémoire où une valeur peut être stockée :

- \mathbb{V} : les variables du programme
- \mathbb{H} : **le tas**, un ensemble **infini** d'adresses mémoires

alloc() pioche une nouvelle adresse dans \mathbb{H} quand il est exécuté

Valeurs \mathbb{V} : $\mathbb{V} \stackrel{\text{def}}{=} \mathbb{A} \cup \mathbb{Z}$

- l'adresse d'une variable \mathbb{V}
- ou l'adresse d'un bloc alloué dynamiquement \mathbb{H}
- ou un entier

Modélisation concrète de la mémoire (suite)

Environnements concrets : $\mathcal{E} \stackrel{\text{def}}{=} \mathbb{A} \rightarrow \mathbb{V}$

- associe une valeur à une adresse mémoire
- \rightarrow dénote une **fonction partielle**
toutes les adresses ne sont pas allouées !
- si $\rho \in \mathcal{E}$, $\text{dom}(\rho) \subseteq \mathbb{A}$ dénote les adresses effectivement allouées
 - $\rho(v)$ est indéfini si $v \notin \text{dom}(\rho)$
 - $\text{dom}(\rho)$ est un ensemble fini
mais \mathbb{A} est infini, pour modéliser des programmes utilisant une mémoire arbitraire
 - $\mathbb{V} \subseteq \text{dom}(\rho)$: les variables existent toujours en mémoire

Sémantique concrète

$$S[\textit{stat}] : \mathcal{P}(\mathcal{E}) \rightarrow \mathcal{P}(\mathcal{E})$$

$$S[X \leftarrow \textit{alloc}()] R \stackrel{\text{def}}{=} \{ \rho[X \mapsto \ell, \ell \mapsto 0 \mid \rho \in R, \ell \notin \textit{dom}(\rho)] \}$$

$$S[X \leftarrow \&Y] R \stackrel{\text{def}}{=} \{ \rho[X \mapsto Y] \mid \rho \in R \}$$

$$S[X \leftarrow Y] R \stackrel{\text{def}}{=} \{ \rho[X \mapsto \rho(Y)] \mid \rho \in R \}$$

$$S[X \leftarrow *Y] R \stackrel{\text{def}}{=} \{ \rho[X \mapsto \rho(\rho(Y))] \mid \rho \in R, \rho(Y) \in \textit{dom}(\rho) \}$$

$$S[*X \leftarrow Y] R \stackrel{\text{def}}{=} \{ \rho[\rho(X) \mapsto \rho(Y)] \mid \rho \in R, \rho(X) \in \textit{dom}(\rho) \}$$

Notes :

- $\rho[\ell \mapsto x]$, $\ell \notin \textit{dom}(\rho)$ enrichit $\textit{dom}(\rho)$
- les blocs alloués sont initialisés à 0
- $X \mapsto Y$ stocke l'adresse de la variable Y dans la variable X
- $X \mapsto \rho(Y)$ stocke la valeur de la variable Y dans la variable X
- $X \mapsto \rho(\rho(Y))$ stocke la valeur pointée par Y dans la variable X
- $\rho(X) \mapsto v$ stocke v à l'adresse pointée par la variable X
- $\rho(Y) \in \textit{dom}(\rho)$ signifie : Y pointe sur une adresse valide
- pas de modification à $S[X \leftarrow \textit{expr}]$, $C[\cdot]$

car les expressions ne contiennent que des variables,
il faut simplement vérifier que $\rho(V) \notin \mathbb{A}$ dans les expressions

Analyse statique

Principe d'analyse

Principe : décomposition du problème

- 1 **analyse de pointeurs** : $ptr : \mathbb{V} \rightarrow \mathcal{P}(\mathbb{A})$
déterminer où chaque variable peut pointer
- 2 utiliser l'information de l'analyse pour **éliminer** les pointeurs du programme par **transformation** de programme

Exemple :

<code>int x = 2;</code>		<code>int x = 2;</code>
<code>int *p = &x;</code>	$ptr(p) \xrightarrow{=} \{x\}$	
<code>(*p)++;</code>		<code>x++;</code>
<code>int y = x + 1;</code>		<code>int y = x + 1;</code>

- 3 **analyse numérique** : dans $\mathcal{P}(\mathbb{A} \rightarrow \mathbb{Z})$
réutilisation des domaines numériques présentés en cours

Note :

une analyse combinée de pointeurs et d'entiers est possible, avec un **produit réduit** ; elle serait plus précise, mais un peu plus complexe à mettre en œuvre.

Affectation faible

Exemple

```

X ← 1; Y ← 2;
if ... then P ← &X else P ← &Y;
Z ← *P;
*P ← 3

```

Une analyse de pointeurs donnerait $ptr(P) = \{X, Y\}$.

Comment interpréter $Z \leftarrow *P$ et $*P \leftarrow 3$?

Indétermination sur $*P \implies$ il faut traiter **tous les cas**!

Exemple : dans les domaines non-relationnels (e.g., intervalles)

- $S^\# \llbracket Z \leftarrow \{X, Y\} \rrbracket R^\# \stackrel{\text{def}}{=} R^\# [Z \mapsto R^\#(X) \cup^\# R^\#(Y)]$
union abstraite $\cup^\#$ de toutes les variables lues
- $S^\# \llbracket \{X, Y\} \leftarrow e \rrbracket R^\# \stackrel{\text{def}}{=} R^\# [X \mapsto R^\#(X) \cup^\# E^\# \llbracket e \rrbracket R^\#, Y \mapsto R^\#(Y) \cup^\# E^\# \llbracket e \rrbracket R^\#]$
 - toutes les variables de $ptr(P)$ sont mises à jour;
 - une variable peut retenir sa valeur précédente ($V \mapsto R^\#(V) \cup^\# \dots$)

\implies les intervalles donnent : $Z \in [1, 2]$, $X \in [1, 3]$, $Y \in [2, 3]$.

Difficulté : allocation non bornée

Exemple

```
X ← rand(0, +∞);  
while i < X do  
  P ← alloc();  
  *P ← i
```

Rappel : \mathbb{A} est infini.

nécessaire pour donner un sens à un programme avec allocation non bornée

⇒ *ptr(V)* peut être infini !

or, l'analyse numérique ne peut se faire que sur un nombre fini de variables. . .

Solution : abstraction par site d'allocation

Exemple

```

X ← rand(0, +∞);
while i < X do
  P ← allocℓ();
  *P ← i

```

Solution : abstraire \mathbb{A} en un **ensemble fini** $\mathbb{A}^\#$ d'adresses abstraites

$\mathbb{A}^\#$ contient :

- les variables \mathbb{V}
- une adresse abstraite $\ell^\#$
pour chaque instruction **alloc**() du programme
i.e., chaque site d'allocation

$\ell^\# \in \mathbb{A}$ représente l'ensemble de **tous** les blocs alloués par **alloc**^ℓ()

Exemple : $\mathbb{A}^\# = \{X, i, P, \ell^\#\}$

Avantage : $\mathbb{A}^\#$ est maintenant fini

Inconvénient : tout accès à $\ell^\#$ génère une affectation faible (perte de précision)

Analyse abstraite de pointeurs

Domaine abstrait : $\mathcal{E}^\# \stackrel{\text{def}}{=} \mathbb{A}^\# \rightarrow \mathcal{P}(\mathbb{A}^\#)$

- utilisation des adresses abstraites : $\mathbb{A}^\#$
- inférence des informations de pointeur uniquement : $\mathcal{P}(\mathbb{A}^\#)$
pas de propriété numérique !

$S^\#[\textit{stat}]$: $\mathcal{E}^\# \rightarrow \mathcal{E}^\#$

$S^\#[X \leftarrow \text{alloc}^\ell()] R^\# \stackrel{\text{def}}{=} R^\#[X \mapsto \{\ell^\#\}]$

$S^\#[X \leftarrow \&Y] R \stackrel{\text{def}}{=} R^\#[X \mapsto \{Y\}]$

$S^\#[X \leftarrow *Y] R \stackrel{\text{def}}{=} R^\#[X \mapsto R^\#(Y)]$

$S^\#[*X \leftarrow Y] R \stackrel{\text{def}}{=} \begin{cases} R^\#[p \mapsto R^\#(Y)] & \text{si } R^\#(X) = \{p\} \quad (\text{affectation forte}) \\ R^\#[\forall p \in R^\#(X) : p \mapsto R^\#(p) \cup \{Y\}] & \text{si } |R^\#(X)| > 1 \quad (\text{affectation faible}) \end{cases}$

Sémantique abstraite des manipulations de pointeurs :

- **analyse non-relationnelle** : abstraction indépendante de chaque variable ;
- utilisation d'**affectations faibles** en cas d'indétermination sur la destination.

Analyse abstraite de pointeurs (suite)

$$\underline{S^\# \llbracket \text{stat} \rrbracket : \mathcal{E}^\# \rightarrow \mathcal{E}^\#}$$

$$S^\# \llbracket s_1; s_2 \rrbracket R^\# \stackrel{\text{def}}{=} S^\# \llbracket s_2 \rrbracket (S^\# \llbracket s_1 \rrbracket R^\#)$$

$$S^\# \llbracket X \leftarrow \text{expr} \rrbracket R^\# \stackrel{\text{def}}{=} R^\#$$

$$S^\# \llbracket \text{if } c \text{ then } s_1 \text{ else } s_2 \rrbracket R^\# \stackrel{\text{def}}{=} S^\# \llbracket s_1 \rrbracket R^\# \dot{\cup} S^\# \llbracket s_2 \rrbracket R^\#$$

$$S^\# \llbracket \text{while } c \text{ do } s \rrbracket R^\# \stackrel{\text{def}}{=} \text{lfp } \lambda X^\#. R^\# \dot{\cup} S^\# \llbracket s \rrbracket X^\#$$

Sémantique abstraite du fragment sans pointeur :

- interprétation par induction sur la syntaxe ;
- $\dot{\cup}$ est l'union point à point : $(R^\# \dot{\cup} S^\#)(X) = R^\#(X) \cup S^\#(X)$;
- les affectations numériques sont ignorées ;
- les tests numériques sont interprétés comme des choix non-déterministes ;
- $\mathcal{E}^\#$ a une hauteur finie
 \implies les boucles calculent des itérations abstraites **sans élargissement**.

Note : analyses uniformes et non-uniformes

Exemple

```

X ← rand(0, +∞);
while i < X do
  P ← allocℓ();
  *P ← i

```

L'analyse avec notre abstraction $\mathbb{A}^\# \stackrel{\text{def}}{=} \{X, i, P, \ell^\#\}$ donnera : $\ell^\# \in [0, +\infty]$

L'analyse est **uniforme** : elle ne distingue pas les différents blocs alloués en ℓ

Analyse non-uniforme : capable de distinguer les instances de $\text{alloc}^\ell()$

Par exemple : le i -ème bloc alloué contient la valeur i

Principe :

- ajouter un compteur d'allocation a : $\ell[a]$ est le a -ième bloc alloué en ℓ
- encoder la séquence $\ell[a]$ par une paire de variables $a, \ell^\#$
- utiliser un domaine relationnel pour relier $a, \ell^\#$ et les autres variables

$R \in \mathcal{P}(\{a, \ell^\#, X\} \rightarrow \mathbb{Z})$ représente les environnements ρ tels que :

$\forall a: ((\rho(a), \rho(\ell[\rho(a)])), \rho(X)) \in R$

\implies la propriété d'intérêt peut être représentée par $\ell^\# = a \wedge a \in [0, X]$

Analyses insensibles au flot de contrôle

Principe

Toutes les analyses que nous avons vues sont **sensibles au flot de contrôle** :

- elle distinguent l'état abstrait en fonction du point de programme
⇒ précis
- elle procèdent par induction sur la syntaxe du programme
en itérant les boucles
⇒ coûteux

Certaines applications, comme la compilation optimisante, nécessitent des analyse moins coûteuses (même si elles sont moins précises)

Analyses insensibles au flot de contrôle :

- manipule un unique environnement abstrait global valable en tout point du programme ;
- permet un ordre arbitraire de traitement des instructions du programme (l'analyse ne suit pas forcément le flot de contrôle)

Analyse d'Andersen

Principe :

- **associer** à chaque variable un ensemble d'adresses abstraites, $ptr : V \rightarrow \mathbb{A}^\#$ à déterminer
- **extraire** de chaque **affectation** une **contrainte d'inclusion sur ptr**
- **résoudre** l'ensemble des contraintes extraites pour inférer ptr

l'instruction : est représentée par la contrainte :

$X \leftarrow \mathbf{alloc}^\ell()$	$\{\ell\} \subseteq ptr(X)$
$X \leftarrow \&Y$	$\{Y\} \subseteq ptr(X)$
$X \leftarrow Y$	$ptr(Y) \subseteq ptr(X)$
$X \leftarrow *Y$	$\forall v \in ptr(Y): ptr(v) \subseteq ptr(X)$
$*X \leftarrow Y$	$\forall v \in ptr(X): ptr(Y) \subseteq ptr(v)$

- les constructions de tests et de boucles sont ignorées
seules les affectations contenues dans ces construction sont extraites
- mélange de contraintes d'inclusion simples (facile à traiter)
et de contraintes quantifiées (plus complexes)

Résolution des contraintes d'inclusion simples

Exemple :

programme :	contraintes :
$P \leftarrow \&X;$	$\{X\} \subseteq ptr(P)$
$Q \leftarrow P;$	$ptr(P) \subseteq ptr(Q)$
$P \leftarrow \mathbf{alloc}^\ell();$	$\{\ell\} \subseteq ptr(P)$
$R \leftarrow P$	$ptr(P) \subseteq ptr(R)$

La **plus petite solution** est : $ptr(P) = ptr(Q) = ptr(R) = \{X, \ell\}$.

Note : perte de précision, en réalité Q ne peut pas pointer sur ℓ , et R ne peut pas pointer sur X

La résolution peut se faire par un algorithme de **graphe** :

- un nœud pour chaque adresse $a \in \mathbb{A}^\#$, représentant l'ensemble $\{a\}$;
- un nœud pour chaque pointeur à déterminer : $ptr(P)$;
- un arc $v \rightarrow w$ pour chaque contrainte $v \subseteq w$;
- calcul de la **clôture transitive**
 $ptr(P) = \{ a \in \mathbb{A}^\# \mid \text{la clôture transitive a un arc } a \rightarrow ptr(P) \}$

\implies coût cubique

Résolution des contraintes complexes

Exemple :

programme :	contraintes :
$P \leftarrow \&X;$	$\{X\} \subseteq ptr(P)$
$Q \leftarrow P;$	$ptr(P) \subseteq ptr(Q)$
$*P \leftarrow Q;$	$\forall v \in ptr(P): ptr(Q) \subseteq ptr(v)$
$P \leftarrow \&Y;$	$\{Y\} \subseteq ptr(P)$
$S \leftarrow *P;$	$\forall v \in ptr(P): ptr(v) \subseteq ptr(S)$

Principe de résolution :

- 1 création d'un graphe pour les contraintes simples d'inclusion
- 2 calcul de la clôture transitive
donnant une première approximation de ptr
- 3 ajout d'arcs $v \rightarrow w$ par **interprétation** des contraintes complexes
e.g., substituer la valeur trouvée de $ptr(P)$ dans $\forall v \in ptr(P): ptr(Q) \subseteq ptr(v)$
- 4 reprendre l'étape 2, et itérer 2 et 3 jusqu'à stabilisation

Le coût est toujours cubique.

Pour notre exemple, nous trouvons :

$ptr(P) = ptr(Q) = ptr(X) = ptr(Y) = \{X, Y\}$ (création de cycle sur X et Y)

Analyse de Steensgaard

Principe :

Remplacer les contraintes d'**inclusion** par des contraintes d'**égalité**.

l'instruction : est représentée par la contrainte :

$X \leftarrow \text{alloc}^{\ell}()$	$\{\ell\} \subseteq ptr(X)$
$X \leftarrow \&Y$	$\{Y\} \subseteq ptr(X)$
$X \leftarrow Y$	$ptr(Y) = ptr(X)$
$X \leftarrow *Y$	$\forall v \in ptr(Y): ptr(v) = ptr(X)$
$*X \leftarrow Y$	$\forall v \in ptr(X): ptr(Y) = ptr(c)$

La clôture transitive d'une relation d'égalité est bien **plus efficace** à calculer que la clôture transitive d'une relation d'inclusion !

coût quasi-linéaire avec une structure de données de type *union-find*

Mais l'analyse est moins précise.

Comparaison des analyses de Steensgaard et d'Andersen

<u>Exemple :</u>	programme	Andersen	Steensgaard
	$P \leftarrow \&X;$	$\{X\} \subseteq ptr(P)$	$\{X\} \subseteq ptr(P)$
	$Q \leftarrow \&Y;$	$\{Y\} \subseteq ptr(Q)$	$\{Y\} \subseteq ptr(Q)$
	$Q \leftarrow P$	$ptr(P) \subseteq ptr(Q)$	$ptr(P) = ptr(Q)$

L'analyse d'Andersen trouve : $ptr(P) = \{X\}$, $ptr(Q) = \{X, Y\}$,

L'analyse de Steensgaard trouve : $ptr(P) = \{X, Y\}$, $ptr(Q) = \{X, Y\}$

Niveaux de sensibilité

Outre le choix entre sensible et insensible au flot de contrôle, plusieurs choix de sensibilité permettent de mieux contrôler le rapport coût / précision :

- **sensibilité au contexte d'appel**

en présence de procédures, distinguer les sites d'appel, traiter les blocs alloués comme des variables abstraites distinctes dans $\mathbb{A}^\#$

Exemple :

```
void* f() { return malloc(100); } a = f(); b = f();
les blocs a et b seront abstraits séparément
```

- **sensibilité au champ**

en présence de structures, chaque champ a une variable abstraite distincte dans $\mathbb{A}^\#$ plus précis mais plus coûteux qu'avec une variable abstraite par structure

- des variantes mélangeant Steensgaard et Andersen existent également

- contraintes d'inclusion pour les pointeurs de surface
variables qui ne sont pas référencées par d'autres pointeurs
- contraintes d'égalité pour les pointeurs profonds

traitement précis du passage par référence sans compromettre l'efficacité

Abstractions de tableaux

Exemple

Exemple : séquence croissante

```

 $p[0] \leftarrow 0; B[0] \leftarrow A[0];$ 
 $i \leftarrow 1; k \leftarrow 1;$ 
while  $i < N$  do
    if  $A[i] > B[k - 1]$  then
         $B[k] \leftarrow A[i];$ 
         $p[k] \leftarrow i;$ 
         $k \leftarrow k + 1;$ 
     $i \leftarrow i + 1$ 

```

Étant donné un tableau $A[0], \dots, A[N - 1]$

le programme extrait un sous-tableau croissant $B[0], \dots, B[k - 1]$

et les indices correspondant $p[0], \dots, p[k - 1]$

Invariants :

$$1 \leq k \leq i \leq N \quad \forall x < k: B[x] = A[p[x]]$$

$$\forall x: 0 \leq p[x] < N \quad \forall x < k - 1: B[x + 1] > B[x]$$

Plan

- Syntaxe et sémantique concrète
- Sémantique abstraite **non-relationnelle**
e.g., $\forall i: A[i] \leq \text{constante}$
 - application à l'analyse d'intervalle
- Sémantique abstraite **relationnelle** (mais uniforme)
e.g., $\forall i: A[i] \leq V$
 - opérations *expand* et *fold*
 - application à l'analyse dans les polyèdres
- Abstractions **non-uniformes**
e.g., $\forall i: A[i] \leq i$

Extension de la syntaxe

Nouvelles expressions et instructions

$expr$	$::=$	V	accès scalaire, $V \in \mathbb{V}$
		$A[expr]$	accès de tableau, $A \in \mathbb{A}$
		\dots	
$stat$	$::=$	$V \leftarrow expr$	affectation scalaire, $V \in \mathbb{V}$
		$A[expr] \leftarrow expr$	affectation de tableau, $A \in \mathbb{A}$
		\dots	

Le langage a maintenant deux manières d'accéder à la mémoire :

- \mathbb{V} : variables scalaires entières (comme avant)
- \mathbb{A} : des **tableaux** d'entiers (nouveaux)
 - les tableaux sont indicés par des **entiers positifs**
 - les tableaux sont supposés **non bornés**
(pour simplifier, nous ignorons les dépassement)

\implies un tableau A est similaire à une fonction ou table $A : \mathbb{N} \rightarrow \mathbb{Z}$

Sémantique concrète

Environnements concrets : $\mathcal{E} \stackrel{\text{def}}{=} (\mathbb{V} \cup (\mathbb{A} \times \mathbb{N})) \rightarrow \mathbb{Z}$

$\rho \in \mathcal{E}$ affecte une valeur entière à chaque “cellule mémoire” :

- $\rho(V)$ pour chaque variable scalaire $V \in \mathbb{V}$ et
- $\rho(A, i)$ pour chaque case de tableau $A \in \mathbb{A}$, $i \geq 0$

Sémantique concrète :

$$E[V] \rho \stackrel{\text{def}}{=} \{\rho(V)\}$$

$$E[A[e]] \rho \stackrel{\text{def}}{=} \{\rho(A, i) \mid i \in E[e] \rho\}$$

$$S[V \leftarrow e] R \stackrel{\text{def}}{=} \{\rho[V \mapsto v] \mid \rho \in R, v \in E[e] \rho\}$$

$$S[A[f] \leftarrow e] R \stackrel{\text{def}}{=} \{\rho[(A, i) \mapsto v] \mid \rho \in R, v \in E[e] \rho, i \in E[f] \rho, i \geq 0\}$$

...

Abstractions non-relationnelles

Abstraction de repliage

But : réutiliser les domaines numériques abstraits existants

Problème : les domaines numériques n'abstraient que des sous-ensembles de \mathbb{Z}^n , pour n fini

Solution : réduire \mathcal{E} à des fonctions sur des ensembles **finis** de **variables abstraites**

Variables abstraites : $\mathbb{V}^\# \stackrel{\text{def}}{=} \mathbb{V} \cup \mathbb{A}$

- les variables scalaires de \mathbb{V} sont exactement représentées dans $\mathbb{V}^\#$
- le contenu d'un **tableau** $A \in \mathbb{A}$ est abstrait par une unique **variable de résumé** A qui modélise le contenu de tout le tableau
- $\mathbb{V}^\#$ est **fini**

Correspondance de Galois de repliage :

$$(\mathcal{P}(\mathcal{E}), \subseteq) \begin{matrix} \xleftarrow{\gamma_s} \\ \xrightarrow{\alpha_s} \end{matrix} (\mathcal{P}(\mathbb{V}^\# \rightarrow \mathbb{Z}), \subseteq)$$

- $\alpha_s(R) \stackrel{\text{def}}{=} \{ [V \mapsto \rho(V), A \mapsto \rho(A, \iota(A))] \mid \rho \in R, \iota \in \mathbb{A} \rightarrow \mathbb{N} \}$
replie tous les éléments de tableau (A, i) dans la variable abstraite A
- $\gamma_s(S) \stackrel{\text{def}}{=} \{ \rho \mid \forall \iota \in \mathbb{A} \rightarrow \mathbb{N} : [V \mapsto \rho(V), A \mapsto \rho(A, \iota(A))] \in S \}$
on a bien : $\gamma_s(S) = \{ \rho \mid \alpha_s(\{\rho\}) \subseteq S \} = \cup \{ R \mid \alpha_s(R) \subseteq S \}$

Abstractions non-relationnelle

Rappel : abstraction d'intervalle

- $\mathcal{P}(\mathbb{V}^\# \rightarrow \mathbb{Z})$ est abstrait en $\mathbb{V}^\# \rightarrow \mathcal{P}(\mathbb{Z})$ (abstraction Cartésienne)
- $\mathcal{P}(\mathbb{Z})$ est abstrait en un intervalle, dans \mathbb{I}

Note : les abstractions Cartésienne et de repliage commutent

Sémantique abstraite : $\text{in } \mathcal{E}^\# \stackrel{\text{def}}{=} \mathbb{V}^\# \rightarrow \mathbb{I}$

- $E^\# \llbracket V \rrbracket X^\# \stackrel{\text{def}}{=} X^\#(V)$
 $E^\# \llbracket A[e] \rrbracket X^\# \stackrel{\text{def}}{=} X^\#(A)$ (e est ignoré)
- $S^\# \llbracket V \leftarrow e \rrbracket X^\# \stackrel{\text{def}}{=} X^\# [V \mapsto E^\# \llbracket e \rrbracket X^\#]$
 $S^\# \llbracket A[f] \leftarrow e \rrbracket X^\# \stackrel{\text{def}}{=} X^\# [A \mapsto X^\#(A) \cup^\# E^\# \llbracket e \rrbracket X^\#]$
 (f est ignoré \rightarrow utilisation d'une **affectation faible** qui accumule les valeurs)
- si $X^\#(V) = X^\#(A) = [a, b]$:
 $S^\# \llbracket V \leq c \rrbracket X^\# \stackrel{\text{def}}{=} X^\# [V \mapsto [a, \min(b, c)]]$ si $a \leq c$, \perp sinon
 $S^\# \llbracket A[e] \leq c \rrbracket X^\# \stackrel{\text{def}}{=} X^\#$ si $a \leq c$, \perp sinon
 (test de satisfiabilité, mais pas de raffinement de la valeur de $X^\#(A)$
 le cas $A[e] \leq A[f]$ est similaire)
- les autres opérations restent inchangées : $\cap^\#, \cup^\#, \dots$

Exemple d'analyse sur les intervalles

Exemple : sous-séquence croissante

```
p[0] ← 0; B[0] ← A[0];  
i ← 1; k ← 1;  
while i < N do  
  if A[i] > B[k - 1] then  
    B[k] ← A[i];  
    p[k] ← i;  
    k ← k + 1;  
  i ← i + 1
```

Résultat :

En supposant $N \in [N_\ell, N_h]$, $\forall x: A[x] \in [A_\ell, A_h]$, on trouve :

- $\forall x: p[x] \in [0, N_h - 1]$
- $\forall x: B[x] \in [\min(0, A_\ell), \max(0, A_h)]$

Abstraction relationnelle

Ajout et suppression de variable

Sémantique concrète :

L'ensemble \mathbb{V} des variables varie lors de l'exécution du programme
(e.g., variables locales)

maintenant : $\mathcal{E} \stackrel{\text{def}}{=} \bigcup_{\mathbb{V} \text{ finite}} \mathbb{V} \rightarrow \mathbb{Z}$

- $S[\text{add } V] R \stackrel{\text{def}}{=} \{ \rho[V \mapsto v] \mid \rho \in R, v \in \mathbb{Z} \}$
(ajout d'une variable non-initialisée)
- $S[\text{del } V] R \stackrel{\text{def}}{=} \{ \rho|_{\text{dom}(\rho) \setminus \{V\}} \mid \rho \in R \}$
(supression d'une variable)

Sémantique abstraite :

$\mathcal{E}^\# \stackrel{\text{def}}{=} \bigcup_{\mathbb{V} \text{ finite}} \mathcal{E}_{\mathbb{V}}^\#$

(un domaine abstrait sur $|\mathbb{V}|$ dimensions pour chaque \mathbb{V} possible, e.g. : $\mathcal{E}_{\mathbb{V}}^\# = \text{polyèdres de } \mathbb{R}^{|\mathbb{V}|}$)

Exemple, dans les intervalles :

- $S^\#[\text{add } V] X^\# \stackrel{\text{def}}{=} X^\#[V \mapsto [-\infty, +\infty]]$
- $S^\#[\text{del } V] X^\# \stackrel{\text{def}}{=} X^\#|_{\text{dom}(X^\#) \setminus \{V\}}$

Duplication et repliage de variables

expand et fold : modélisent le repliage dynamique

$$S[\text{expand } V \rightarrow V'] R \stackrel{\text{def}}{=} \{ \rho[V' \mapsto v] \mid \rho \in R \wedge \rho[V \mapsto v] \in R \}$$

$$S[\text{fold } V \leftarrow V'] R \stackrel{\text{def}}{=} \{ \rho \mid \exists v: \rho[V' \mapsto v] \in R \vee \rho[V' \mapsto \rho(V), V \mapsto v] \in R \}$$

- **expand copie** une variable et ses contraintes
 $(1 \leq V \leq X \implies 1 \leq V \leq X \wedge 1 \leq V' \leq X$; mais $V = V'$ n'est pas vrai !)
- **fold replie** V et V' dans V
 $(1 \leq V \leq X \wedge 2 \leq V' \leq Y \implies 1 \leq V \leq X \vee 2 \leq V \leq Y)$
- **fold** est une **abstraction**, **expand** est la **concretization** associée :

$$\mathcal{P}(V \rightarrow \mathbb{Z}) \begin{array}{c} \xleftarrow{S[\text{expand } V \rightarrow V']} \\ \xrightarrow{S[\text{fold } V \leftarrow V']} \end{array} \mathcal{P}((V \setminus \{V'\}) \rightarrow \mathbb{Z})$$

(on a une correspondance de Galois)

Expand et fold relationnel

Abstraction dans les polyèdres :

- **expand** peut être modélisé exactement par des simples **copies de contraintes** :

$$S^\# \llbracket \mathbf{expand} \ V_a \rightarrow V_b \rrbracket \{ \sum_i \alpha_{ij} V_i \geq \beta_j \} \stackrel{\text{def}}{=} \\ \{ \sum_i \alpha_{ij} V_i \geq \beta_j \} \cup \{ \sum_{i \neq a} \alpha_{ij} V_i + \alpha_{aj} V_b \geq \beta_j \}$$

- **fold** peut être sur-approximé par une **copie faible** :

$$S^\# \llbracket \mathbf{fold} \ V \leftarrow V' \rrbracket X^\# \stackrel{\text{def}}{=} S^\# \llbracket \mathbf{del} \ V' \rrbracket (X^\# \cup^\# S^\# \llbracket V \leftarrow V' \rrbracket X^\#)$$

(l'affectation garde les anciennes valeurs, en plus des nouvelles, au lieu de les remplacer)

exemple : $0 \leq V \leq 3 \wedge 10 \leq V' \leq 13 \implies 0 \leq V \leq 13$
qui sur-approxime $0 \leq V \leq 3 \vee 10 \leq V \leq 13$

- $S^\# \llbracket \mathbf{add} \ V \rrbracket$ garde les contraintes inchangées
- $S^\# \llbracket \mathbf{del} \ V \rrbracket$ projette V

Abstraction relationnelle des tableaux

But : abstraite $\mathcal{P}(\mathcal{E})$ par des polyèdres sur $\mathbb{V}^\# \stackrel{\text{def}}{=} \mathbb{V} \cup \mathbb{A}$

Principe : utiliser *join* et *expand* en interne

Abstraction de l'affectation : $S^\# \llbracket A[f] \leftarrow e \rrbracket X^\#$

- un accès de tableau $A[\text{expr}]$ dans e est remplacé par une copie fraîche de A ce qui donne une nouvelle expression e' et un nouvel environnement $X_1^\#$

e.g., remplacer $B[\text{expr}]$ dans $X^\#$, par B' dans $X_1^\# \stackrel{\text{def}}{=} S^\# \llbracket \text{expand } B \rightarrow B' \rrbracket X^\#$

- création d'une copie A' de A , pour contenir le résultat

$X_2^\# \stackrel{\text{def}}{=} S^\# \llbracket \text{expand } A \rightarrow A' \rrbracket X_1^\#$

- affectation de e' dans A'

$X_3^\# \stackrel{\text{def}}{=} S^\# \llbracket A' \leftarrow e' \rrbracket X_2^\#$

- repliage de A' dans A

$X_4^\# \stackrel{\text{def}}{=} S^\# \llbracket \text{fold } A \leftarrow A' \rrbracket X_3^\#$

- suppression des copies de tableau :

$S^\# \llbracket \text{del } B' \rrbracket X_4^\#$

$(S^\# \llbracket V \leftarrow e \rrbracket$ et $S^\# \llbracket c? \rrbracket$ se traitent de la manière similaire)

Exemple d'analyse dans les polyèdres

Exemple : sous-séquence croissante

```

p[0] ← 0; B[0] ← A[0];
i ← 1; k ← 1;
while i < N do
  if A[i] > B[k - 1] then
    B[k] ← A[i];
    p[k] ← i;
    k ← k + 1;
  i ← i + 1

```

Résultats :

Avec l'hypothèse $\forall x: A[x] \in [A_\ell, A_h]$, on trouve :

- $\forall x: 0 \leq p[x] < N$
(plus fort que $\forall k: 0 \leq p[k] < N_h$)
- $\forall x: B[x] \in [\min(0, A_\ell), \max(0, A_h)]$
(Note : $B \leq A$ n'est pas vrai, car il serait interprété comme $\forall i, j: B[i] \leq A[j]$)

Abstractions non-uniformes

Au-delà des abstractions uniformes

Le repliage $\alpha_s : \mathcal{P}(\mathcal{E}) \rightarrow \mathcal{P}(\mathbb{V}^\# \rightarrow \mathbb{Z})$ est une abstraction **uniforme** : elle oublie les relations entre les **indices** et les **valeurs** des éléments de tableaux.

Exemple d'abstraction non-uniforme : **segmentation de tableau**

Boucle d'initialisation

```

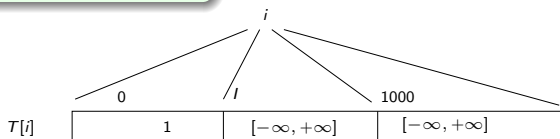
I ← 0;
while • I < 1000 do
  T[I] ← 1;
  I ← I + 1
  
```

nous voulons analyser la boucle sans déroulement

en •, il faut exprimer l'invariant de boucle :

$$\forall i < I : T[i] = 1$$

\Rightarrow en sortie de boucle, T est initialisé jusqu'à 1000



domaine abstrait :

partitionne le tableau en segments uniformes

un segment a des bornes constantes ou symboliques ($0, I, 1000, \dots$)

les segments ont un contenu, exprimé dans un domaine abstrait (intervalles, ...)